
Etude de la variation fonctionnelle intraspécifique d'espèces herbacées rudérales indigènes le long d'un gradient urbain-rural

Auteur : Lecléf, Nina

Promoteur(s) : Monty, Arnaud

Faculté : Gembloux Agro-Bio Tech (GxABT)

Diplôme : Master en bioingénieur : gestion des forêts et des espaces naturels, à finalité spécialisée

Année académique : 2022-2023

URI/URL : <http://hdl.handle.net/2268.2/18213>

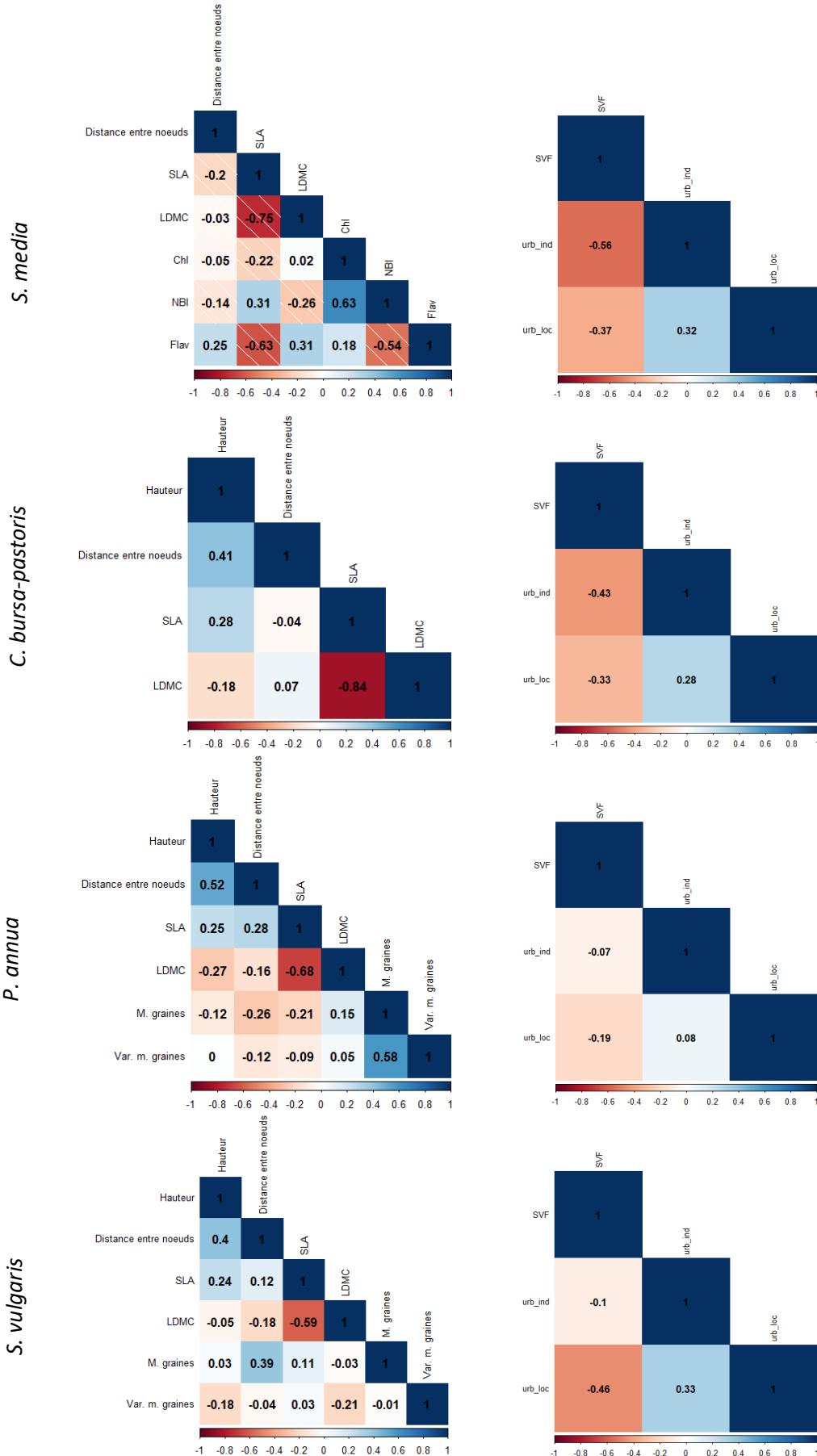
Avertissement à l'attention des usagers :

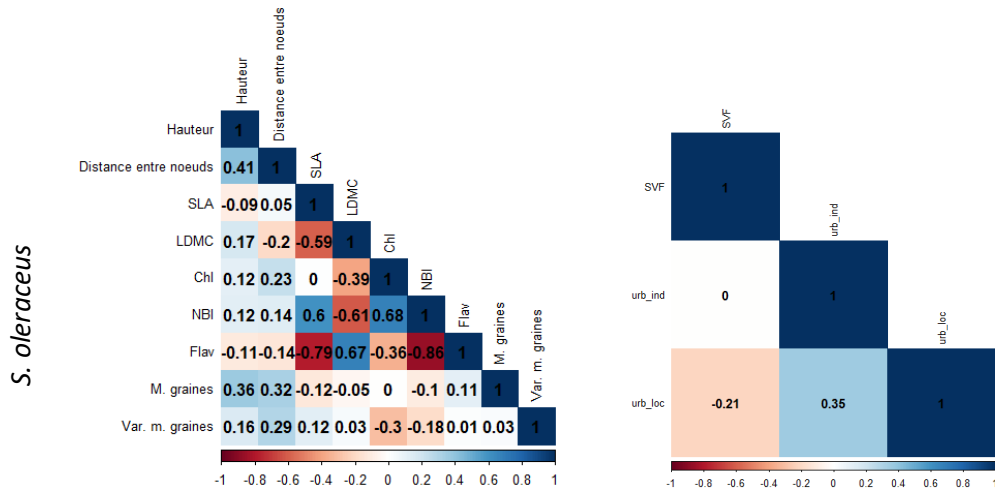
Tous les documents placés en accès ouvert sur le site le site MatheO sont protégés par le droit d'auteur. Conformément aux principes énoncés par la "Budapest Open Access Initiative"(BOAI, 2002), l'utilisateur du site peut lire, télécharger, copier, transmettre, imprimer, chercher ou faire un lien vers le texte intégral de ces documents, les disséquer pour les indexer, s'en servir de données pour un logiciel, ou s'en servir à toute autre fin légale (ou prévue par la réglementation relative au droit d'auteur). Toute utilisation du document à des fins commerciales est strictement interdite.

Par ailleurs, l'utilisateur s'engage à respecter les droits moraux de l'auteur, principalement le droit à l'intégrité de l'oeuvre et le droit de paternité et ce dans toute utilisation que l'utilisateur entreprend. Ainsi, à titre d'exemple, lorsqu'il reproduira un document par extrait ou dans son intégralité, l'utilisateur citera de manière complète les sources telles que mentionnées ci-dessus. Toute utilisation non explicitement autorisée ci-avant (telle que par exemple, la modification du document ou son résumé) nécessite l'autorisation préalable et expresse des auteurs ou de leurs ayants droit.

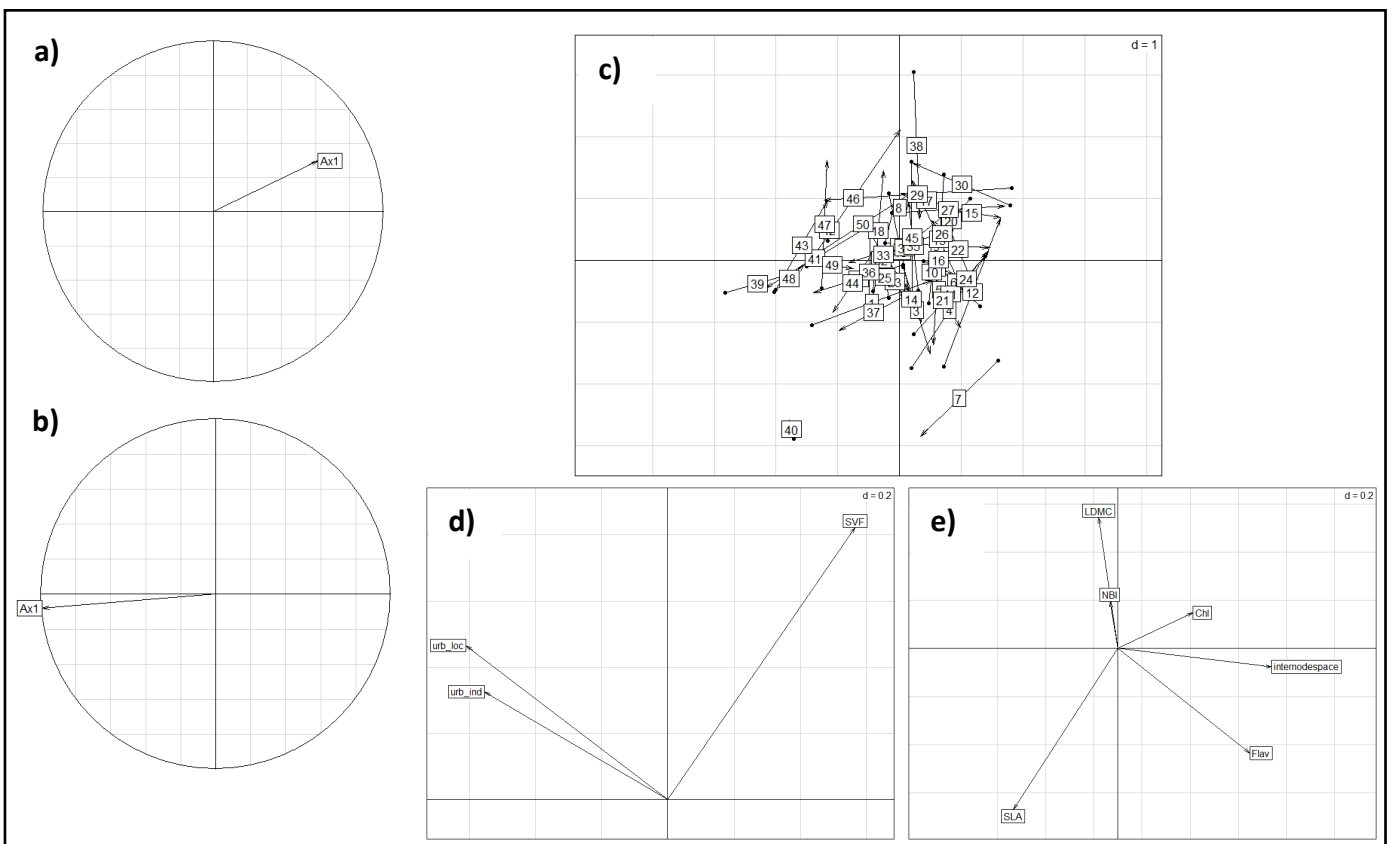
Annexes

Annexe 1 : Corrélogrammes contenant les valeurs des coefficients de corrélation de Pearson entre chaque paire de traits fonctionnels (gauche) et entre chaque paire de variables environnementales (droite) mesurés pour chaque espèce. Les corrélations positives sont indiquées en bleu et les corrélations négatives sont indiquées en rouge.

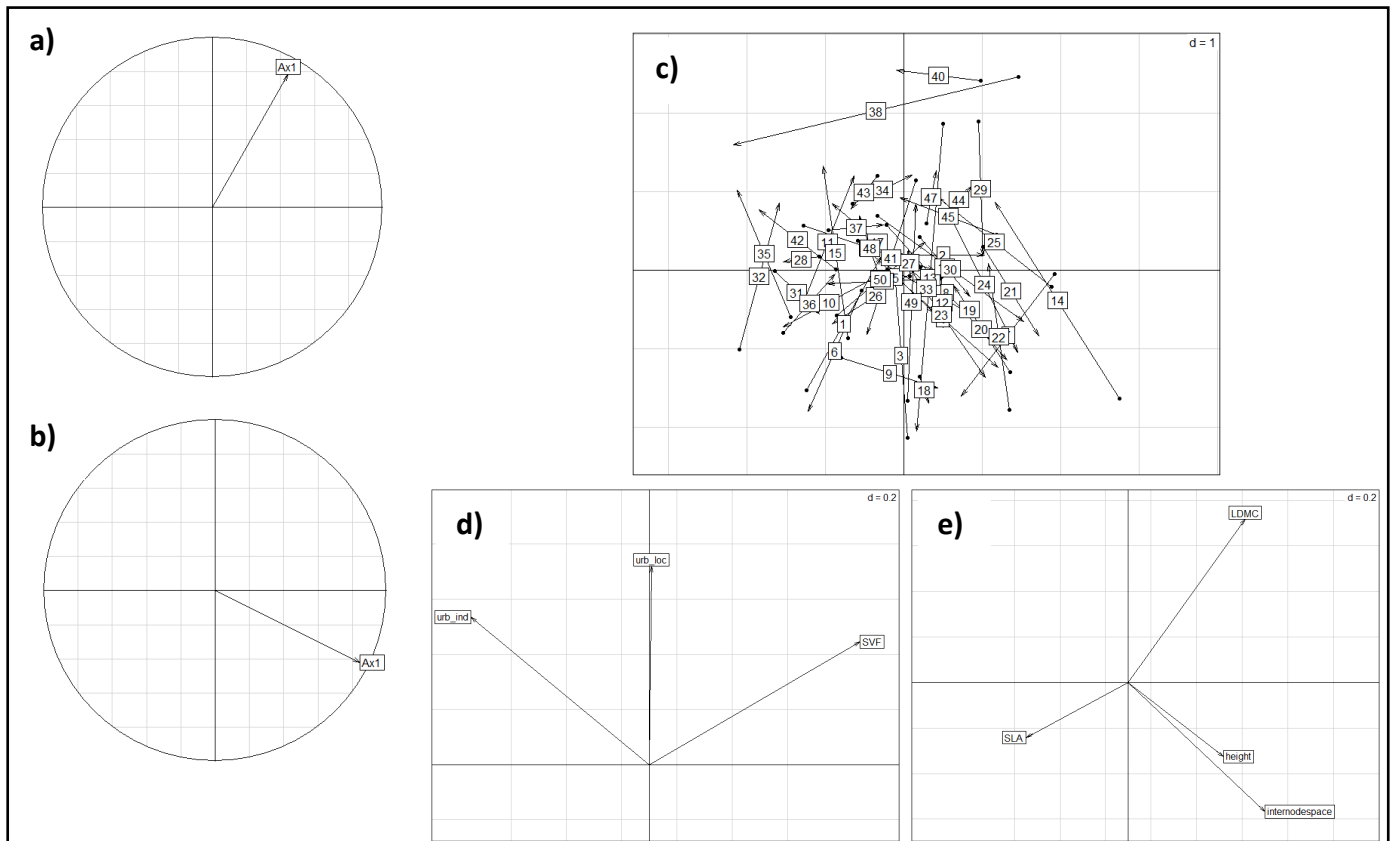




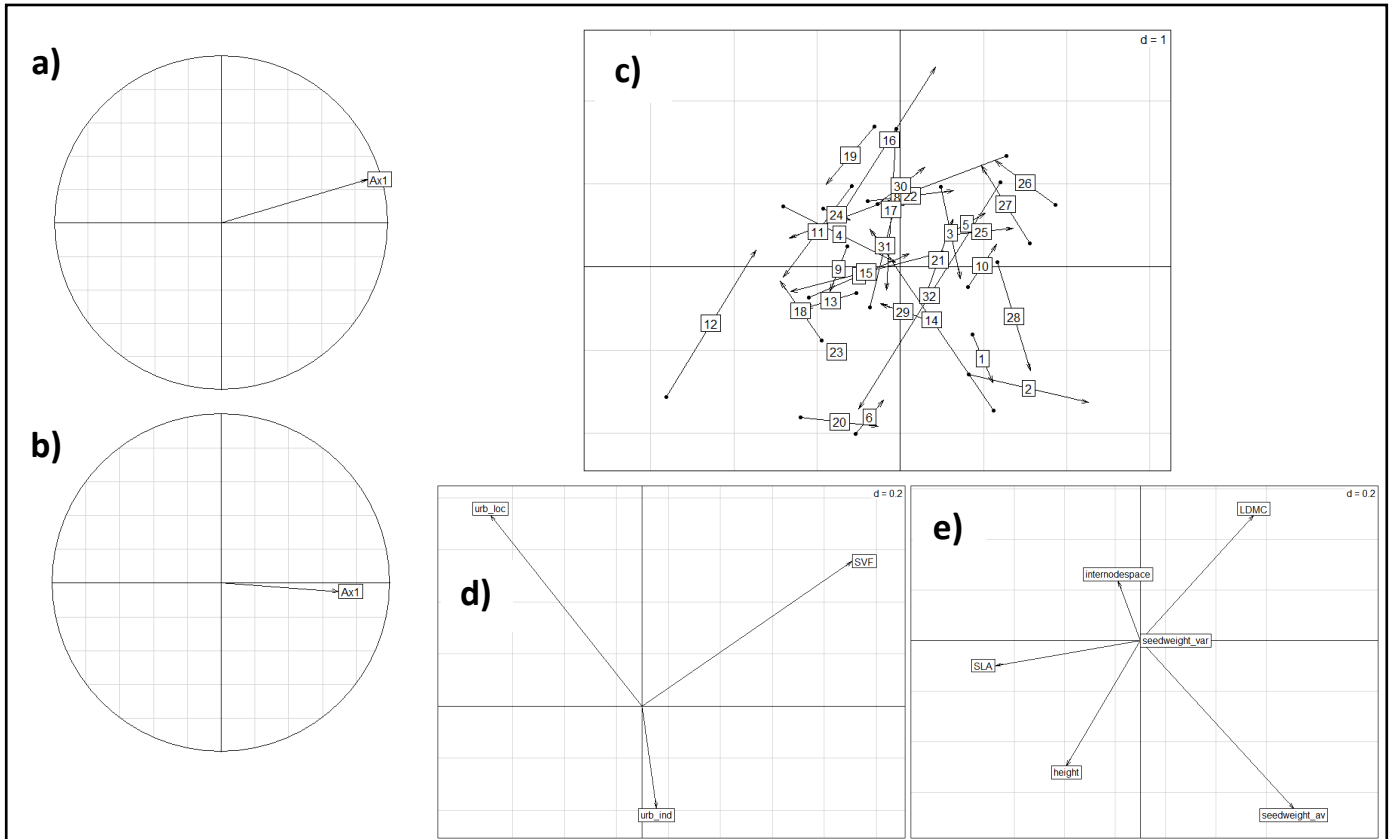
Annexe 2 : Résultats de l'analyse en co-inertie réalisée entre les traits fonctionnels et les variables environnementales mesurés pour les individus de *S. media* : projection de l'axe principal des traits fonctionnels (a) et des variables environnementales (b) sur les axes de co-inertie, plan factoriel de l'analyse en co-inertie contenant les flèches reliant les individus échantillonnés selon leur trait fonctionnel (base de la flèche) et les variables environnementales (extrémité de la flèche) (c), distribution des variables environnementales (d) et des traits fonctionnels (e) dans le plan factoriel de l'analyse en co-inertie.



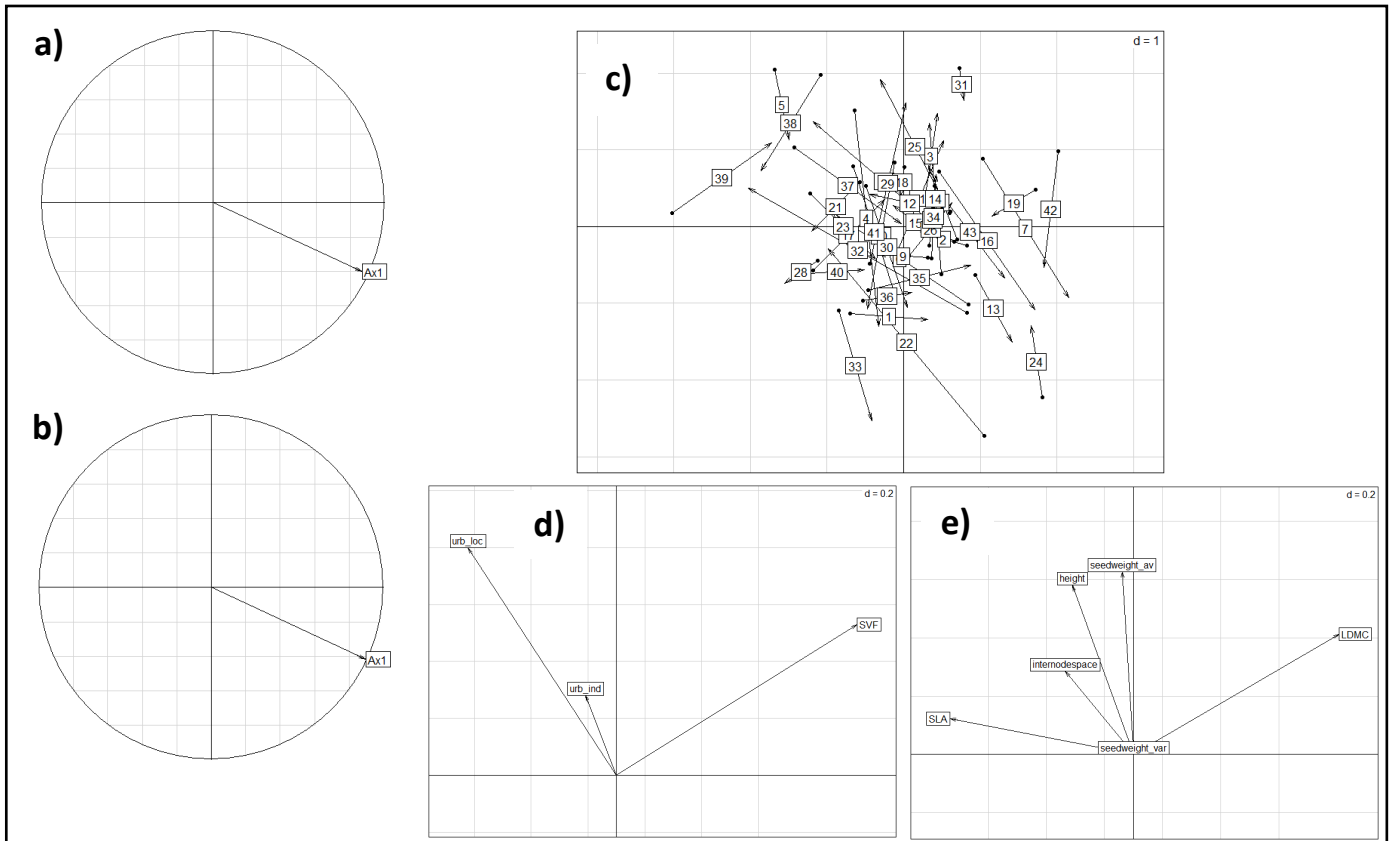
Annexe 3 : Résultats de l'analyse en co-inertie réalisée entre les traits fonctionnels et les variables environnementales mesurés pour les individus de *C. bursa-pastoris* : projection de l'axe principal des traits fonctionnels (a) et des variables environnementales (b) sur les axes de co-inertie, plan factoriel de l'analyse en co-inertie contenant les flèches reliant les individus échantillonnés selon leur trait fonctionnel (base de la flèche) et les variables environnementales (extrémité de la flèche) (c), distribution des variables environnementales (d) et des traits fonctionnels (e) dans le plan factoriel de l'analyse en co-inertie.



Annexe 4 : Résultats de l'analyse en co-inertie réalisée entre les traits fonctionnels et les variables environnementales mesurés pour les individus de *P. annua* : projection de l'axe principal des traits fonctionnels (a) et des variables environnementales (b) sur les axes de co-inertie, plan factoriel de l'analyse en co-inertie contenant les flèches reliant les individus échantillonnés selon leur trait fonctionnel (base de la flèche) et les variables environnementales (extrémité de la flèche) (c), distribution des variables environnementales (d) et des traits fonctionnels (e) dans le plan factoriel de l'analyse en co-inertie.



Annexe 5 : Résultats de l'analyse en co-inertie réalisée entre les traits fonctionnels et les variables environnementales mesurés pour les individus de *S. vulgaris* : projection de l'axe principal des traits fonctionnels (a) et des variables environnementales (b) sur les axes de co-inertie, plan factoriel de l'analyse en co-inertie contenant les flèches reliant les individus échantillonnés selon leur trait fonctionnel (base de la flèche) et les variables environnementales (extrémité de la flèche) (c), distribution des variables environnementales (d) et des traits fonctionnels (e) dans le plan factoriel de l'analyse en co-inertie.



Annexe 6 : Résultats de l'analyse en co-inertie réalisée entre les traits fonctionnels et les variables environnementales mesurés pour les individus de *S. oleraceus* : projection de l'axe principal des traits fonctionnels (a) et des variables environnementales (b) sur les axes de co-inertie, plan factoriel de l'analyse en co-inertie contenant les flèches reliant les individus échantillonnés selon leur trait fonctionnel (base de la flèche) et les variables environnementales (extrémité de la flèche) (c), distribution des variables environnementales (d) et des traits fonctionnels (e) dans le plan factoriel de l'analyse en co-inertie.

